

酸素吸收に及ぼすMLSS濃度の影響について

荏原イソフィルコ(株) 井出哲夫

○永松定祐

1 席言

汚泥を好気性消化する場合、消化槽のSS濃度は、普通の活性汚泥法のばつ気槽内SS濃度よりも高い。したがって、3,000 ppm程度のSS濃度の酸素吸收効率の値を、そのまま好気性消化槽に適用することはできない。

Deindoerter, Gaden は、SS濃度が高くなると、suspensionはゼンガム流体と見なせる運動をし、例えば、SS濃度が10%になると、0の場合に比し、 k_{LA} の値は $\frac{1}{5}$ に低下し、その主な原因是、粘性の増大にあると報告している。¹⁾

一方、Robert, Donald は、ばつ気槽のMLSS濃度の増大による高いDO廃水の経済的な処理方式の検討を行なっている。²⁾

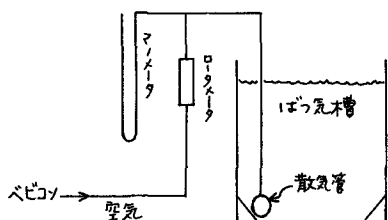
二つの場合も、SS濃度の増大による酸素吸收率の低下、換算すれば、動力費の増大を考慮に入れれば、経済的に最適なばつ気槽MLSS濃度がある筈である。

このような意味から、MLSS濃度と酸素吸收率の関係を知ることは、非常に重要なと思われる。

本研究では、酸素吸收率の一つの表示法として、酸素移動に関する総括容量係数 k_{LA} を測定し、各濃度における k_{LA} の値が、濃度0あるいは3,000 ppm程度の場合に比し、どの程度低下するのか、その相対的な比率を求めることと、各濃度のsuspensionの粘度を測定し、 k_{LA} と粘度との相関を求めるなどを主目的とした。

2 実験方法

1) k_{LA} の測定 活性汚泥(芝浦下水処理場)を20日間好気性消化したものを試料として、 $HgCl_2$ により汚泥の呼吸を止め、ばつ気しながら、 $CuCl_2$ を触媒として、 Na_2SO_3 により、ばつ気槽内の溶解酸素をほぼ零にし、DOX-タ(ベックマン)により、溶解酸素の絶時的変化を測定し、 k_{LA} を算出した。実験装置はfig.1の通りである。



ばつ気槽 : $200 \text{ mm} \times 260 \text{ mm} \times 200 \text{ mm}$ 水深 (液面積 10 l)
散気管 : 合成樹脂製, パルコーン SP35
(新モエラ産業製)

fig.1 k_{LA} 測定・実験装置

なお、SS濃度の調製は、下水処理水を用いて行ない、 k_{LA} の値はKingの式³⁾に従って、すべて 20°C における値に統一した。散気管前の吹込み空気圧は $400 \sim 500 \text{ mmH}_2\text{O}$ であった。

2) 粘度の測定

Suspension は一般にビンガム流体と見なせる。いま 管内を流れの場合、中心から r の位置における剪断応力では、定常状態における力の釣合から

$$\tau = \frac{\Delta P}{2\ell} \cdot r \quad (1)$$

同様に、降伏応力 τ_y 、管壁に対する応力 τ_w はそれぞれ

$$\tau_y = \frac{\Delta P}{2\ell} \cdot r_y, \quad \tau_w = \frac{\Delta P}{2\ell} \cdot r_w \quad (2)$$

$$\therefore r_y/r_w = \tau_y/\tau_w = a \quad (3)$$

$$\text{式(2)より} \quad \Delta P = \frac{2\ell \tau_y}{r_y} = \frac{2\ell \tau_y}{a \cdot r_w} \quad (4)$$

$$\text{また、式(1), (2)より} \quad \tau = \tau_y (r/r_y) \quad (5)$$

上式を、ビンガムの基準式 $\tau - \tau_y = -\mu_a \frac{du}{dr}$ に代入し、とくに $u = 0$ とすると

$$Q = \frac{\pi r_w^3 \tau_y g_c}{\mu_a} \cdot \alpha \quad \alpha \equiv \frac{a^4 - 4a + 3}{12a} \quad (6)$$

いま、流量 Q_1, Q_2 の時の圧降下を $\Delta P_1, \Delta P_2$ とすると、式(4), (6)より

$$\frac{\Delta P_1}{\Delta P_2} = \frac{r_{y2}}{r_{y1}} = \frac{r_{y2}/r_w}{r_{y1}/r_w} = \frac{a_2}{a_1}, \quad \frac{Q_1}{Q_2} = \frac{\alpha_1}{\alpha_2} \quad (7)$$

試行法によつて、式(7)を満足する a_1 を求めると、降伏応力、粘度は次式より求められる。

$$\tau_y = \frac{\Delta P_1}{2\ell} r_w a_1, \quad \mu_a = \frac{\pi r_w^3 \tau_y g_c}{Q_1} \cdot \alpha_1 \quad (8)$$

われわれが用いた粘度測定装置は fig. 2 の通りである。

ガラス管： 内径 3.4 mm, 2.9 mm
長さ 300 mm

なお、測定中の液温は $20^\circ\text{C} \pm 2^\circ\text{C}$
であった。

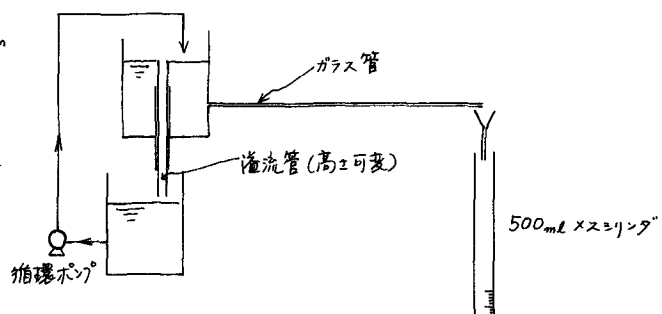


fig. 2 粘度測定装置

3 実験結果

1) 試料の呼吸速度

活性を測定する場合、試料中の汚泥の呼吸を止め付率がある。20日間好気性消化した汚泥と、この汚泥に HgCl_2 を 1% (consolidated) 加えたものにつれての D.O の低下を fig. 3 に示す。

すなわち、それからの呼吸速度は

20日間好気性消化汚泥 : $0.57 (\text{mg-O}_2/\text{hr.g-ss})$

HgCl_2 1% 添加汚泥 : $0.11 (\text{mg-O}_2/\text{hr.g-ss})$

SS濃度20%の場合、 $HgCl_2$ を1%添加すると
汚泥の呼吸による酸素消費量は

$$20 \times 0.11 / 60 = 0.035 (\text{ppm-O}_2/\text{min})$$

すなわち、測定誤差範囲として許容である。

2) k_{LA} の測定結果

21(%) の汚泥に触媒として $CuCl_2 \cdot 6H_2O$ を
1% on solid 加えたあと、 Na_2SO_3 (100% sol) を
8 g/10L 加え、D.Oをゼロにし、D.Oの経時的
変化を測定した。

なお、汚泥の性状、濃度によつても異なつが、
 $CuCl_2 \cdot 6H_2O$ の添加量は、この場合、1% on solid
以下では、 Na_2SO_3 を加えても D.O を低下させることは
困難である。

あとの実験は、この汚泥を下水処理水で希釈して、
適当な濃度に調整し、同様の測定を行なつた。

これらの結果を整理して、Table 1 に示した。

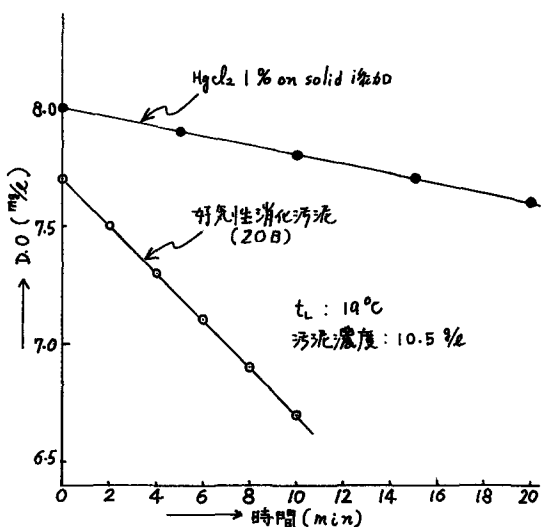


Table 1 k_{LA} 測定結果

SS濃度 %/l	空気量		液温 °C	$k_{LA}(20)$ 1/min	α_1	α_2
	e/min	m³/m².h				
水道水	3	1.8	16.0	25.2	1	—
	5	3	16.0	34.5	1	—
	7	4.2	17.0	39.0	1	—
	10	6	17.5	53.6	1	—
下水処理水	5	3	19.0	28.2	0.82	1
	7	4.2	20.0	36.7	0.94	1
	10	6	20.0	49.2	0.90	1
	10	6	20.0	8.4	0.16	0.17
21.0	7	4.2	20.5	6.4	0.16	0.18
	5	3	20.5	4.9	0.14	0.17
	10	6	20.0	11.6	0.22	0.24
15.0	7	4.2	20.0	8.0	0.21	0.22
	5	3	20.0	6.8	0.20	0.24
	10	6	20.0	20.2	0.38	0.41
4.25	7	4.2	19.5	15.1	0.39	0.41
	5	3	19.5	11.3	0.33	0.40
	10	6	17.0	15.8	0.30	0.32
11.0	7	4.2	17.0	11.6	0.30	0.32
	5	3	17.5	8.7	0.25	0.31
	5	3	18.0	10.0	0.29	0.36
7.55	7	4.2	18.5	12.5	0.32	0.34
	10	6	18.5	17.0	0.32	0.35
	10	6	18.0	18.2	0.34	0.37
5.15	7	4.2	18.0	13.9	0.36	0.38
	5	3	18.0	10.3	0.30	0.37

3) 吹込空気量と k_{La} の関係

SS濃度をパラメータとして、吹込空気量 G ($m^3/m^3 \cdot hr$) と k_{La} の関係をプロットしたのが fig. 4 である。すなわち、その勾配は SS 濃度に無関係に 0.78 であった。したがって

$$k_{La} \propto G^{0.78} \quad (9)$$

なる関係が得られる。

4) α の値について

それぞれの k_{La} の値と、水道水に対する比を α_1 、下水処理水の値との比を α_2 とすると、各 SS 濃度について、ほゞ次のようないずれかが得られた。

Table 2

SS濃度	α_1	α_2
%/e	—	—
下水処理水	0.8~0.9	1.0
4.25	0.3~0.4	0.4
5.15	0.3~0.35	0.37
7.55	0.3	0.35
11.00	0.25~0.3	0.32
15.0	0.2	0.24
21.0	0.15~0.16	0.17

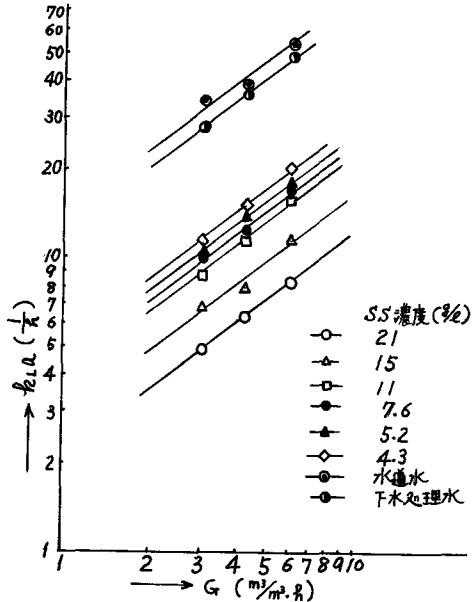


fig. 4 G と k_{La} の関係

5) 粘度の測定結果

それぞれの SS 濃度について、粘度 μ_a 、降伏応力 τ_y を測定した結果は、Table 3 の通りである。

6) 粘度と k_{La} の関係

液粘度と k_{La} の関係を文献から拾つてみると、次のようになら。

Johnson, 斎藤は、 k_{La} につけて次の関係式を得ている。³⁾

Table 3

SS濃度	液温	μ_a	τ_y
%/e	°C	cP	Kg/m^2 $dyne/cm^2$
21.0	19.0	6.4	0.108 10.6
15.0	19.5	3.0	0.042 4.1
11.0	18.5	2.0	0.035 3.4
7.6	18.0	1.5	0.021 2.1
5.2	18.0	1.4	0.017 1.7
4.3	20.5	1.3	0.017 1.7

$$\left(\frac{k_{La} \cdot D^2}{D_L} \right) \propto \left(\frac{\sigma}{\nu_s \cdot \mu_L} \right)^{-0.75} \left(\frac{D^2 \cdot N \cdot \rho_L}{\mu_L} \right)^{1.67} \left(\frac{\mu_L}{\rho_L \cdot D_L} \right)^{0.33} \quad (10)$$

すなわち、

$$k_{La} \propto \mu_L^{-0.59} \quad (11)$$

Calderbank らは⁴⁾

$$\frac{\mu_L}{\rho_L \cdot D_L} = 0.31 \left(\frac{\Delta \rho \cdot \mu_L \cdot g}{\rho_L^2} \right)^{1/3} \quad (12)$$

すなわち

$$k_L \propto \mu_L^{-0.334} \quad (13)$$

また、Vermeulen は、気液接觸面積 a (m^2/m^3) について、次の関係を得てある。⁵⁾

$$a = \frac{1400 N^{1.5} D \cdot \rho_L^{0.5} \rho_g^{0.75}}{\sigma \cdot \mu_L^{0.25} f_\phi} \quad (14)$$

すなわち、

$$a \propto \mu_L^{-0.25} \quad (15)$$

式(13), (15)より

$$k_L a \propto \mu_L^{-0.584} \quad (16)$$

となり。 $k_L a$ に及ぼす液粘度の影響は、Johnson, 齋藤と, Calderbank の場合、その結果はよく一致している。

しかし、IMRE HORVATH によると⁶⁾

$$\frac{k_L a \cdot d_f}{V_B} \propto \left(\frac{f_r}{d_f} \right)^{0.7} \left(\frac{G \cdot d_f}{V_B} \right)^{1.12} \left(\frac{V_B \cdot d_f}{\nu} \right)^{-1.52} \left(\frac{\nu}{D} \right)^{-1.825} \quad (17)$$

$$k_L a \propto V_B^{-1.64} \cdot \nu^{0.27}$$

気泡の上昇速度 V_B に対する粘度の影響は、次とくとも

$$V_B \propto \nu^{-x} \quad x > 0 \quad (18)$$

である旨があり、したがって

$$k_L a \propto \nu^y \quad y > 0 \quad (19)$$

となり、前二者とは異なり。しかも量論的に考へて、 $k_L a$ の値が粘度の増大にともない、増大するという結果はおかしい。

この例外は別として、一方、 $k_L a$ の値は $\mu_L^{-0.58 \sim -0.59}$ 程度に比例するものと考えられる。

さて、われわれが求めた混合液の見かけ粘度 μ_a と $k_L a$ の関係をプロットすると fig. 5 のようになり、吹込み空気量と無関係にほぼ直線となり、次の相関関係が得られた。

$$k_L a \propto \mu_a^{-0.57} \quad (20)$$

この関係は、Johnson, 齋藤及び Calderbank の液粘度との相関式とはよく一致している。

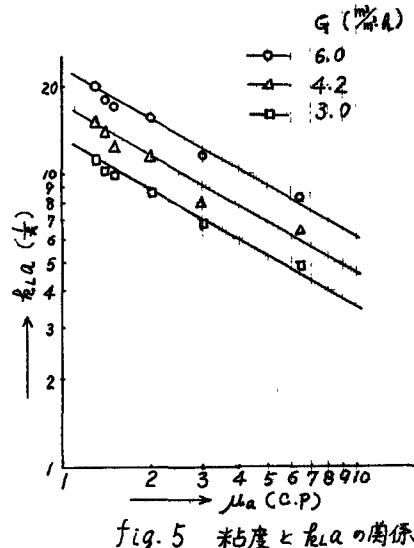


fig. 5 粘度と $k_L a$ の関係

4 結論

1) k_{LA} ($\frac{1}{hr}$) と吹込空気量 G (m^3/sec) との間に、MLSS濃度に無関係に、次の相関式が得られた。

$$k_{LA} \propto G^{0.78}$$

2) MLSS濃度が 10~20 %程度になると、 k_{LA} の値は、SS濃度が零の場合の 0.17~0.3 程度に低下する。

3) k_{LA} と混合液の見かけ粘度との関係は、Johnson ら、Calderbank らの流粘度との相関式とはほぼ同様な結果が得られ、次の相関式を得た。

$$k_{LA} \propto \mu_a^{-0.57}$$

記号

a	単位流量当りの気液接触面積 (cm^2/cm^3)	d_f	air grid の至 (cm)
D	攪拌羽根の至 (cm)	D_L	液相拡散係数 (cm^2/sec)
f_g	ガスの容積百分率が中の場合と 10 の場合との平均気泡至の比 (-)		
g	重力加速度 (cm/sec^2)	h	単位流量当りの空気吹込量 ($cm^3/cm^3 sec$), ($m^3/m^3 hr$)
h_a	air grid の液面からの深さ (cm)	k_L	物質移動係数 (cm/sec)
k_{LA}	容積係数 ($1/sec$), ($1/hr$)	l	管の長さ (cm)
N	攪拌回転数 (r.p.s)	ΔP	圧力差 (kg/cm^2)
Q	液流量 (cm^3/sec)	r, r_g, r_w	管中心からの距離、管半径、管内至 (cm)
t	温度 ($^\circ C$)	V_s	槽断面積当りの平均ガス吹込量 ($cm^3/cm^2 sec$)
V_B	気泡の上昇速度 (cm/sec)	d_1, d_2	水道水、下水処理水に対する k_{LA} の比
			3 比 (-)
μ_a, μ_L	スラリー、液の粘度 ($g/cm \cdot sec$), ($c.P.$)	γ	動粘性係数 (cm^2/sec)
ρ_g, ρ_L	ガス、液の密度 (g/cm^3)	$\Delta \rho$	気液の密度差 (g/cm^3)
σ	表面張力 ($dynes/cm$)		
T, T_g, T_w	r, r_g, r_w に対する剪断応力 ($dynes/cm^2$), (Kg/cm^2)	ϕ	ガスのホールドアップ (-)

文献

- Deindoerter, Gaden : Appl. Microbiol. 3. 253 (1955)
- Robert, Donald : Biotechnology and Bioengineering 8. 379 (1966)
- Johnson, 青藤 : A.I.Ch.E. Journal 3. 411 (1957)
- Calderbank, Moo-young : Chem. Eng. Sci. 16. 39 (1961)
- Vermeulen, Langlois : Chem. Eng. Progr. 51. 85 (1955)
- Imre Horváth : Third International Conf. on Water Poll. Research (1966)
- 伊藤四郎 : “塑性流体の流れ” 新化学工学講座(日刊工業) (1957)
- King : Sew. Ind. Wastes 27. 1123 (1955)